

1
2
3
4
5
6
7
8
9
10
11
12
13
14
15
16
17
18
19
20
21
22
23
24
25
26
27
28

UNIVERSIDAD NACIONAL DE LA PLATA
FACULTAD DE CIENCIAS AGRARIAS Y FORESTALES



TRABAJO FINAL DE CARRERA

Respuesta del raigras anual (*Lolium multiflorum* Lam.) a fertilización nitrogenada en conjunto con fertilización cálcico- magnésica

Alumno: **CIERI RAMIRO**

Alumno: **ZANZOTTERA PATRICIO**

Legajo:26904/4

Legajo: 26984/2

DNI:37570641

DNI: 36526872

Tel: 2352-48-0529.

Tel: 2325-41-2511.

Email: ramirocieri@hotmail.com

Email: patriciozanzottera@yahoo.com

Director: **Ing. Agr. MIRTA GARCÍA**

Codirector: **Ing. Agr. DANIEL FERRO**

Área temática: Investigación sobre una temática específica de Manejo y Conservación de Suelos.

29
30
31
32
33
34
35
36
37
38
39
40
41
42
43
44
45
46
47
48
49
50
51
52
53
54
55
56

INDICE

RESUMEN	1
INTRODUCCIÓN	2
HIPÓTESIS	6
OBJETIVOS	6
Objetivo General	6
Objetivos Específicos	6
MATERIALES Y MÉTODOS	7
RESULTADOS	9
Análisis de suelo	9
Rendimiento parcial y acumulado de raigrás (kgMS.ha⁻¹)	1040
<i>Rendimiento parcial</i>	<i>1040</i>
<i>Rendimiento acumulado (kgMSacumulado.ha⁻¹)</i>	<i>1141</i>
Contenido de Ca y Mg en tejido vegetal	1242
<i>Contenido de Ca en tejido vegetal</i>	<i>1242</i>
<i>Contenido de Mg en tejido vegetal</i>	<i>1242</i>
DISCUSIÓN	1242
Análisis edáficos iniciales	1242
Rendimiento parcial y acumulado de raigrás	1343
Contenido de Ca y Mg en tejido vegetal	1545
CONCLUSIONES	1747
BIBLIOGRAFÍA	19
ANEXO	20
Figuras	2420
Tablas	2727

57

RESUMEN

58

59

60

61

62

63

64

65

66

67

68

69

70

71

72

73

74

75

76

77

78

En la actualidad se practica la fertilización para mantener el equilibrio de nutrientes, siendo los nitrogenados los fertilizantes más utilizados. Sin embargo, el uso continuo de fertilizantes amoniacales y/o amídicos puede ser causante de acidificación. Para contrarrestar este efecto se suele aplicar enmiendas y/o fertilizantes alcalinos (principalmente yeso). Teniendo en cuenta esto, se llevó a cabo en la localidad de Los Hornos (partido de La Plata), un ensayo experimental en bloques completos al azar donde se establecieron parcelas sembradas con raigrás y cada una presentaba diferentes dosis de fertilizante nitrogenado (urea) ($50 \text{ kg}\cdot\text{ha}^{-1}$ y $100 \text{ kg}\cdot\text{ha}^{-1}$) con y sin dosis de fertilizante cálcico magnésico ($\text{CaSO}_4\cdot 2\text{H}_2\text{O}$ (sulfato de Ca) ($122,8 \text{ kg}\cdot\text{ha}^{-1}$ y $24,7 \text{ kg}\cdot\text{ha}^{-1}$) y $\text{MgSO}_4\cdot 7\text{H}_2\text{O}$ (sulfato de Mg)) ($29,3 \text{ kg}\cdot\text{ha}^{-1}$ y $58,5 \text{ kg}\cdot\text{ha}^{-1}$) en cantidades equivalentes para neutralizar la acidificación por la urea. Se evaluó rendimiento de forraje y contenido de Ca y Mg en tejido vegetal con el objeto de analizar si se observa algún beneficio extra de los productos básicos utilizados. Los resultados mostraron diferencias significativas en el rendimiento para los tratamientos con urea pero no para los fertilizantes alcalinos. La fertilización nitrogenada logró mayor eficiencia cuando se realizó a fines del invierno- principio de primavera (corte III y corte IV). Tampoco arrojaron diferencias significativas en el contenido de Ca y Mg en tejido vegetal. La fertilización cálcica magnésica en raigrás, no es recomendable como práctica para obtener mayores rendimientos en el marco de las condiciones estudiadas.

79 **INTRODUCCIÓN**

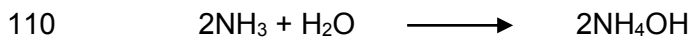
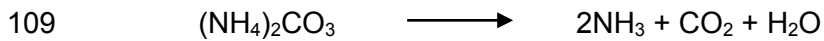
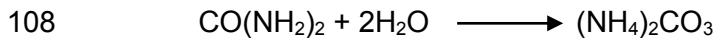
80 En Argentina, la expansión del área destinada a la agricultura, desplazó a la
81 ganadería hacia ambientes con restricciones en su aptitud de uso, al menos, durante
82 las últimas dos décadas (Rearte, 2010). En estas áreas, si bien la oferta de nutrientes
83 del suelo resulta suficiente para las especies nativas de las comunidades del pastizal
84 natural, puede resultar insuficiente para satisfacer los requerimientos de las especies
85 forrajeras introducidas, afectando su capacidad de crecimiento. A veces es necesario
86 proveer a los recursos forrajeros de una nutrición balanceada a través de la
87 fertilización, para lograr valores de alta productividad en el tiempo.

88 El raigras anual (*Lolium multiflorum Lam.*) es una especie forrajera de
89 crecimiento invierno-primaveral, que responde positivamente al abastecimiento de
90 nitrógeno (N) a través de la fertilización (Marino et al., 2004). Sin embargo la
91 fertilización continuada con fertilizantes amoniacales y/o amídicos es una de las
92 causas antrópicas de acidificación de los suelos en zonas templadas (Vázquez &
93 Millán, 2017). Dentro de los fertilizantes nitrogenados, el más utilizado a nivel mundial
94 es la urea (U), es el sólido granulado de mayor concentración de N, 46% (p/p). Se
95 adapta a diferentes tipos de cultivos y distintos tipos de aplicaciones. La U se puede
96 aplicar al voleo, en cobertura, pero la mejor eficiencia se logra en líneas, al costado o
97 debajo de la línea de siembra, donde además no existen limitaciones en las dosis a
98 aplicar generadas por fitotoxicidad. Para evitar pérdidas de N por volatilización, en
99 situaciones con temperaturas promedio superiores a 18°C, se recomienda también su
100 incorporación al suelo. Como todo fertilizante nitrogenado, puede aplicarse antes de la
101 siembra o al momento de la misma (YPF SA, 2015).

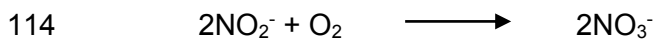
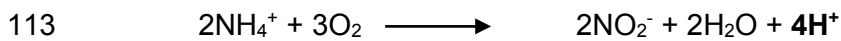
102 Los fertilizantes amoniacales y/o amídicos durante la oxidación a nitrato
103 (nitrificación) liberan iones hidrógeno (H⁺) que desplazan a los cationes de intercambio
104 favoreciendo su posterior lavado (Vázquez & Millán, 2017). Las reacciones que se

105 producen en el suelo ante el agregado de la U son las siguientes (Campillo &
106 Sadzawka, 2006):

107 *1. Hidrólisis*



112 *2. Nitrificación*



115

116 El proceso de acidificación de los suelos, sin embargo, es dinámico y sus
117 causas son tanto naturales (edáficos, geomorfológicos, climáticos, red hidrológica, tipo
118 de vegetación, dinámica del agua) como antrópicas (intensificación de la agricultura
119 sin reposición de bases, empleo de fertilizantes de alto índice de acidez, incremento
120 de la superficie bajo siembra directa por acumulación de materia orgánica en
121 superficie, entre otros) (Tang, 1998; Burle et al., 1997). A su vez puede agravarse por
122 la deposición de elementos atmosféricos acidificantes provenientes de la actividad
123 industrial y otras fuentes de contaminación (Blake et al., 1999).

124 Como consecuencia de la acidificación se produce un desbalance de bases en
125 la solución del suelo, igualmente perjudicial para el crecimiento de las plantas, siendo
126 las leguminosas las especies más afectadas (Vazquez, 2005).

127 Cuando el pH disminuye, se requiere proporcionalmente mayor cantidad de
128 calcio (Ca) en la solución para contrarrestar el efecto adverso de los protones, por
129 ejemplo, en la elongación radical, así como también, el requerido para la nodulación y
130 fijación del N. Gran parte del Ca se encuentra formando parte de las paredes celulares
131 de estructuras rígidas, como oxalato de Ca y otros ácidos orgánicos en el apoplasto o

132 en las vacuolas (Revilla & Zarra, 2008). La planta absorbe Ca en forma pasiva a través
133 del flujo masal, mientras que otros cationes como el sodio (Na^+), hidrogeno (H^+),
134 potasio (K^+), amonio (NH_4^+) y aluminio (Al^{3+}) interactúan negativamente con su
135 absorción (Baligar et al., 1987; Wilkinson y Duncan, 1993 y 1994).

136 El transporte del magnesio (Mg), al interior de la planta, es pasivo a través de
137 las ionóferas, que son moléculas orgánicas que transportan los iones a través de las
138 membranas biológicas mediante la formación de complejos liposolubles con cationes
139 polares (Vázquez & Pagani, 2015). La función más importante del Mg es formar parte
140 de la molécula de clorofila, en un 15-20 %. El resto del Mg actúa como activador de
141 enzimas de procesos de fosforilación, también interviene en el metabolismo energético
142 de la planta al formar complejos con el ATP (Mengel & Kirkby, 2000).

143 En algunas producciones, aun existiendo cantidades adecuadas de Ca y Mg en
144 el suelo, puede ocurrir que el elevado ritmo de la demanda por parte del cultivo
145 provoque que no se logren reponer estos nutrientes en la solución del suelo a la
146 velocidad con que son absorbidos, por lo que en muchas situaciones es necesaria
147 también su aplicación como nutriente, para evitar severos daños en la producción
148 (Vázquez & Pagani, 2015).

149 Es común el análisis del tejido vegetal como herramienta para el diagnóstico de
150 Ca y Mg, como así también, de otros elementos. Esto se debe a que la respuesta del
151 cultivo no sólo esta relacionada con la situación actual de la disponibilidad del
152 nutriente en el suelo, sino también con su capacidad o modo de crecimiento,
153 capacidad de explorar el suelo y captar nutrientes, estado sanitario y vigor, entre otros
154 aspectos. Los cultivos necesitan cantidades absolutas (umbrales) y relativas de los
155 elementos minerales en el tejido vegetal, dependiendo de la especie y de la edad de la
156 planta (Marschner, 1995). Para satisfacer esta demanda nutricional el suelo debe
157 poder ofertar esos nutrientes en cantidades adecuadas, particularmente cuando la
158 regulación de la absorción no puede ser ejercida por la propia planta. Esto ocurre

159 fundamentalmente con aquellos elementos que ingresan al vegetal a través de flujo
160 masal, es decir, por diferencia de potencial agua, debido fundamentalmente a la
161 transpiración (Miravé et al., 2015), tal como ocurre con la absorción de Ca y Mg según
162 evidenciaron Arrigo & Conti . Debido a este hecho, el diagnóstico de las condiciones
163 de suficiencia-deficiencia de los nutrientes en el suelo se torna complejo y dependiente
164 de las características de los sistemas de producción abordados.

165 Las características particulares de cada suelo afectan la disponibilidad de los
166 nutrientes. Por ej. en suelos ácidos (pH inferior a 5,5) con baja saturación de bases,
167 algunos nutrientes como el Ca y el Mg pueden no estar disponibles para ser
168 absorbidos por las plantas (Arrigo & Conti). En la práctica del “encalado” se usan
169 productos correctores que contienen Ca y/o Mg, fundamentalmente calcita (CaCO_3) y
170 dolomita ($\text{CaCO}_3\text{-MgCO}_3$). El problema de su empleo es la baja solubilidad de los
171 carbonatos, especialmente en siembra directa, debido a la imposibilidad de
172 incorporarlos (Vázquez & Pagani, 2015). En los casos de deficiencia particular de
173 algún nutriente básico para el cultivo, la situación es posible de corregir mediante
174 fertilización cálcica y/o magnésica, Gambaudo et al, 2007; Martinez y Cordone, 2008;
175 Ferro et al, 2015 han demostrado la potencialidad de la práctica en el ámbito templado
176 argentino, con un desarrollo incipiente del conocimiento de este fenómeno y su
177 tratamiento.

178 Los requerimientos de bases en algunas especies forrajeras como el raigrás
179 anual, si bien son variables según textura de los suelos y manejo, fueron estimadas
180 entre 5-6 kg de Ca $(\text{t.MS})^{-1}$ y 2-4 kg de Mg $(\text{t.MS})^{-1}$ (Ciampitti y García, 2008). El
181 diagnóstico del nivel de Ca y Mg de los suelos ha estado tradicionalmente relacionado
182 a determinaciones de pH y necesidades de encalado, ya que bajos niveles de pH
183 están asociados con probables deficiencias de estos cationes. Sin embargo, en la
184 actualidad, no existe bibliografía disponible relacionada a deficiencia en los suelos, con
185 deficiencias manifiestas en el vegetal.

186

187 **HIPÓTESIS**

188 La utilización de fertilizantes cálcico-magnésicos en conjunto con fertilización
189 nitrogenada, incrementa la producción de biomasa y calidad forrajera del raigrás anual.

190

191 **OBJETIVOS**

192 **Objetivo General**

193 Generar prácticas de manejo complementarias a fertilizaciones nitrogenadas,
194 que permitan mitigar el efecto negativo que provocan dichos fertilizantes sobre la
195 acidez del suelo.

196

197 **Objetivos Específicos**

198 Evaluar el impacto de fertilizantes cálcicos-magnésicos conjuntamente con
199 nitrogenados acidificantes de suelos en raigrás anual sobre:

200

- producción de materia seca

201

- concentración cálcico-magnésica en el tejido vegetal

202

203

204 **MATERIALES Y MÉTODOS**

205 El ensayo se realizó en la estación Experimental Julio Hirschhorn, de la
206 Facultad de Ciencias Agrarias y Forestales de la UNLP, ubicada en Los Hornos,
207 partido de La Plata (34°59'10" S, 57°59'57" O) durante el año 2016. La superficie total
208 fue 252 m², en un suelo clasificado taxonómicamente como *Argiudol típico* en posición
209 media del relieve, que se corresponde con la serie Centeno (Lanfranco, 1988).

210 Previo a la siembra se tomaron muestras compuestas de suelo en dos
211 profundidades: 0- 20 cm y 20-40 cm. Las muestras fueron secadas en estufa a 40°C
212 con circulación forzada, mortereadas y tamizadas según determinación a practicar. Se
213 analizó pH actual (suelo:agua de 1:2,5), capacidad de intercambio catiónica (CIC,
214 método del acetato de amonio 1N, buffer pH7), materia orgánica (MO, determinación
215 de carbono por Walkey y Black modificado), N total (Nt, digestión húmeda y destilación
216 Kjeldhal) y cationes intercambiables: Ca, Mg (quelatometría con EDTA). Se utilizaron
217 protocolos SAMLA (2004).

218 La preparación de la cama de siembra se realizó con pasada de arado de reja y
219 vertedera, con posterior pasada de rastra de disco para roturar la tierra y controlar
220 malezas.

221 El diseño del ensayo fue en bloques completos al azar (DBCA) con arreglo
222 factorial 3x2. Los factores fueron la aplicación de Urea (tres dosis) y fertilizante de Ca
223 y Mg (dos dosis) y la combinación de ambas (urea + fertilizante cálcico- magnésico)
224 con 3 repeticiones de cada tratamiento. La superficie de cada una de las parcelas fue
225 2 m² (2 m x 1 m), dejando 1 m de calle entre ellas. Se estableció un total de 21
226 parcelas.

227 Se sembró al voleo el día 22/3/2016 sobre la totalidad de la superficie con la
228 especie *Lolium multiflorum* variedad "Río", densidad 20 kg.ha⁻¹. Se sembraron las
229 calles para disminuir el efecto bordura. A la siembra se aplicaron los fertilizantes en
230 dosis según tratamientos (ver anexo tabla 1). Además, toda la superficie se fertilizó

231 con 60 kg.ha⁻¹ de fosfato monoamónico para proveer una base de fósforo en todas las
232 parcelas (cabe aclarar que no se analizó el contenido de P del suelo previamente). Se
233 realizaron 4 cortes. Luego de cada corte se refertilizó con las dosis correspondientes a
234 cada tratamiento (ver anexo tabla 1).

235
236 Se utilizaron los fertilizantes sulfato de calcio (yeso) y sulfato de magnesio
237 (kierserita) cuyas dosis se calcularon en relación a la cantidad necesaria de nutrientes
238 básicos para neutralizar el potencial efecto acidificante de la urea. Se observó el
239 comportamiento de dicho fertilizante en el suelo, donde la U es hidrolizada por la
240 enzima ureasa presente en el mismo, con la consecuente liberación de protones,
241 como se mencionó anteriormente.

242 Con ello se obtuvieron los equivalentes de H⁺ generados por cada mol de U
243 aplicado, para luego calcular los equivalentes de Ca⁺² y de Mg⁺² necesarios para
244 neutralizarlos. Una vez obtenidos dichos equivalentes de neutralización para cada
245 dosis de U, se relacionaron con los respectivos pesos equivalentes de los cationes en
246 los distintos productos, a los fines de obtener la cantidad de yeso y de kierserita a
247 aplicar en cada tratamiento (ver anexo tabla 2). Para el cálculo de los equivalentes de
248 neutralizantes se mantuvo una relación, considerada ideal para estos tratamientos, de
249 Ca/Mg de 6:1. Por este motivo y a los términos de la nomenclatura, dichos fertilizantes
250 básicos se denominaron “correctores” en el ensayo realizado.

251

252 El día 02/05/2016 se aplicó herbicida 24DB, en dosis de 600 ml.ha⁻¹ según
253 indicaciones de marbete, para el control de malezas de hoja ancha.

254 Se realizaron 4 cortes al ras, simulando una posible utilización por corte
255 mecánico. El primer corte se llevó adelante el día 14/06/2016 pero fue descartado del
256 análisis debido a que solo se pudo cosechar once parcelas ya que las restantes se
257 encontraban anegadas y había un bajo stand de plantas. El segundo corte fue el

258 17/08/2016, para el total de las parcelas, donde las plantas se encontraban en
259 macollaje. El tercero se efectuó el 23/9/16, a fines de macollaje-principios de
260 elongación. Por último el cuarto corte se hizo el día 24/11/2016 donde la mayor parte
261 de las plantas estaban en estado de maduración. Luego de cada corte se refertilizó
262 con las dosis correspondientes a cada tratamiento (urea y bases).

263 Se realizaron las siguientes determinaciones:

264 - Se calculó la cantidad de biomasa expresada en $\text{kgMS}\cdot\text{ha}^{-1}$ para cada corte,
265 (secado en estufa a $60\text{ }^{\circ}\text{C}$ hasta peso constante), obteniendo el rendimiento parcial
266 por corte.

267 - Se calculó la biomasa acumulada mediante la suma de biomasa parcial de
268 cada uno de los cortes (3 cortes en total).

269 - Se evaluó la concentración de Ca y Mg en vegetal: la parte aérea vegetal se
270 secó a 60°C hasta peso constante. La muestra se colocó en mufla a $500\text{ }^{\circ}\text{C}$ hasta la
271 obtención de cenizas para posterior solubilización con ácido nítrico, enrase y
272 determinación de Ca y Mg por quelatometría con EDTA (CNA, 2004).

273 Los resultados fueron evaluados estadísticamente por medio de análisis
274 paramétrico de la varianza (ANOVA), previa comprobación de supuestos básicos, y
275 posterior comparación múltiple de Tukey, utilizando el programa estadístico Infostat
276 (2011).

277

278 **RESULTADOS**

279 **Análisis de suelo**

280 Los resultados del análisis de suelo son presentados en la Tabla 3 (ver anexo
281 tabla 3).

282

283

284

285

286

Rendimiento parcial y acumulado de raigrás (kgMS.ha⁻¹)

287

Rendimiento parcial

288

En la figura 1 (anexo figura 1) se puede observar el rendimiento parcial de raigrás para cada tratamiento, en cada uno de los cortes.

290

291

292

293

294

295

296

297

En el corte II no se observaron diferencias estadísticas significativas para la interacción urea*corrector y por ende se procedió a analizar los factores independientemente (Tabla 4). Los tratamientos con U no tuvieron diferencias significativas para un 95% de probabilidad, aunque se observó que existirían diferencias significativas al analizarlo con un 90% de probabilidad (p-valor 0,0546). Los tratamientos con corrector no tuvieron diferencias estadísticas significativas (p-valor 0,61). Se observó una tendencia al aumento en la producción de MS en dosis de urea de 100 kg.ha⁻¹.

298

299

300

301

302

303

304

305

306

En el corte III, no se encontraron diferencias estadísticas significativas para la interacción urea*corrector y se procedió a analizar los factores independientemente. Se observaron diferencias significativas con la aplicación de urea con probabilidad mayor al 95% (p- valor 0,032), mientras que el agregado de corrector no produjo efectos significativos (Anexo Figura 1 y Tabla 5). Se distinguieron dos grupos de producción de biomasa con respecto al agregado de urea. El tratamiento U100 produjo 1672,47 kgMS.ha⁻¹, valor significativamente mayor que las parcelas sin urea, cuya media fue 1225,47 kgMS.ha⁻¹. El tratamiento U50 no se diferencia de los restantes, con una media de rendimiento de 1380,2 kg.ha⁻¹ (Anexo Figura 2).

307

308

309

310

311

En el corte IV no se registró interacción entre urea*corrector, encontrándose diferencias estadísticas significativas para los tratamientos con aplicación de urea (p-valor <0,05, Anexo Tabla 6). No se encontraron diferencias en la aplicación de los correctores (p-valor 0,74). Se encontró diferencias significativas entre U0 y U100 (Anexo Figura 3), siendo el mismo comportamiento encontrado para el corte III. La

312 media de rendimiento para los tratamientos sin urea (U0) fue de 3768,81 kgMS.ha⁻¹, y
313 para U100 de 5072,77 kgMS.ha⁻¹. Con U50 los valores obtenidos fueron intermedios.

314

315 ***Rendimiento acumulado (kgMSacumulado.ha⁻¹)***

316 Se entiende por rendimiento acumulado a la sumatoria de biomasa de los tres
317 cortes para cada tratamiento.

318 Para el corte II acumulado los resultados del ANOVA son los mismos que para
319 rendimiento parcial, debido a que fue el primer corte que se pudo analizar.

320 En el corte III acumulado (sumatoria de biomasa de corte II y III), el ANOVA no
321 evidenció diferencias estadísticas significativas para la interacción urea*corrector
322 (Anexo Tabla 7). Se encontraron diferencias estadísticas altamente significativas para
323 los tratamientos con urea (p-valor <0,01). Las parcelas con U100 obtuvieron la mayor
324 cantidad de biomasa acumulada en este corte (3335,03 kgMS.ha⁻¹) con respecto a U0
325 y U50 que produjeron 2405,92 kgMS.ha⁻¹ y 2636,92 Kg Ms.ha⁻¹ respectivamente (
326 Anexo Figura 4). No se encontraron diferencias para en el uso de corrector (p-valor
327 0,48).

328 Para el corte IV acumulado (sumatoria de biomasa de corte II, III y IV) no se
329 observó interacción positiva urea*corrector (p-valor 0,51). Se evidenció diferencia
330 altamente significativa en los tratamientos con urea (p-valor 0,007), mientras que no se
331 observaron diferencias con respecto al uso de corrector (p-valor 0,98, Anexo Tabla 8)
332 Se encontraron diferencias significativas entre U0 y U100 con una clara superioridad
333 para las parcelas con la máxima dosis de U (Anexo Figura 5). La media de rendimiento
334 para los tratamientos con U0 fue de 6174,73 kgMS.ha⁻¹, y para U100 de 8407,8
335 kgMS.ha⁻¹. Con U50 los valores obtenidos fueron intermedios (6881,38 kgMS.ha⁻¹).

336

337

338

Contenido de Ca y Mg en tejido vegetal

339

Contenido de Ca en tejido vegetal

340

El ANOVA no evidenció, en ninguno de los 3 cortes, interacción entre

341

urea*corrector ni diferencia estadística significativa en el contenido de Ca en tejido

342

vegetal para ninguno de los tratamientos (Anexo Figura 6 y Tablas 9, 10 y 11). El

343

ANOVA arrojó valores de p-valor de 0,37, 0,09, 0,18 para el corte II, III y IV

344

respectivamente. Los valores de calcio foliar oscilaron entre 0,1 y 0,2%

345

aproximadamente.

346

347

Contenido de Mg en tejido vegetal

348

El ANOVA no evidenció, en ninguno de los 3 cortes, interacción entre

349

urea*corrector ni diferencia estadística significativa en el contenido de Mg en tejido

350

vegetal para ninguno de los tratamientos (Anexo Figura 7 y Tablas 12, 13 y 14). Los

351

valores de este elemento rondaron entre 0,05 y 0,07 % p/p.

352

353

DISCUSIÓN

354

Análisis edáficos iniciales

355

Los niveles de Ca^{+2} y Mg^{+2} intercambiables en el suelo previo a la realización

356

del ensayo (Anexo tabla 3) eran medios para el primero y bajos para el segundo

357

considerando las valoraciones absolutas según Vazquez & Pagani (2015), (Anexo

358

Tabla 15). Por tal motivo se diagnosticó, en un principio, necesario plantear una doble

359

fertilización (con Ca^{+2} y Mg^{+2}) para elevar el contenido de los mismos en el perfil de

360

suelo. Otro factor necesario a analizar fue la CIC, responsable de la retención máxima

361

por adsorción de cationes intercambiables en el suelo, y su relación con los cationes

362

básicos en cuestion. Dichos parámetros son pertinentes debido a que la cantidad de

363

nutrientes que tenga la planta a disposición va a depender de la capacidad que tenga

364 el complejo de cambio de retener nutrientes y de la composición cuali-cuantitativa de
365 dichos nutrientes (Zhang & Zhao, 1997). Según parámetros de referencia Vázquez &
366 Pagani (2015) (Anexo Tabla 16), los niveles del ensayo fueron bajos para el Ca^{+2} (46,6
367 % de la CIC) y relativamente buenos para el Mg^{+2} (11,3% de la CIC), evidenciando
368 nuevamente la potencialidad de encontrar respuesta al agregado de los fertilizantes
369 básicos.

370

371 **Rendimientos parciales y acumulados de raigrás**

372 La aplicación de urea aumentó significativamente el rendimiento de biomasa
373 del raigrás ($\text{kgMS}\cdot\text{ha}^{-1}$) y ese aumento se fue acentuando a medida que avanzaba el
374 tiempo del cultivo. Si bien, en el corte II no existieron diferencias significativas, se
375 observó una tendencia al aumento en el tratamiento U100 con un incremento de
376 $482,11 \text{ kgMS}\cdot\text{ha}^{-1}$, aproximadamente un 40%, con respecto al testigo (U0) ($1662,57$
377 $\text{kgMS}\cdot\text{ha}^{-1}$ vs $1180,46 \text{ kgMS}\cdot\text{ha}^{-1}$), (Anexo figura 1), mostrando una eficiencia en el uso
378 de N de $10,25 \text{ kgMS}\cdot\text{kgN}^{-1}$ en el tratamiento U100. En el corte III se incrementó la
379 biomasa producida en $447 \text{ kgMS}\cdot\text{ha}^{-1}$, un incremento de aproximadamente el 37%,
380 entre el tratamiento U100 y el testigo (U0), cuya producción fue de $1672,47 \text{ kgMS}\cdot\text{ha}^{-1}$
381 y $1225,47 \text{ kgMS}\cdot\text{ha}^{-1}$, y la eficiencia fue de $9,51 \text{ kgMS}\cdot\text{kgN}^{-1}$ para U100. Para el corte
382 IV el aumento de rendimiento fue de $1303,96 \text{ kgMS}\cdot\text{ha}^{-1}$, aproximadamente un 35%,
383 entre el tratamiento U100 vs el testigo (U0) mientras que la eficiencia en el uso de N,
384 para la máxima dosis, fue $27,74 \text{ kgMS}\cdot\text{kgN}^{-1}$. Estos últimos valores, cuya aplicación
385 fue realizada el 23/9/16, son cercanos a la eficiencia media de aplicaciones de inicios
386 de primavera (30 a $50 \text{ kg MS}\cdot\text{kgN}^{-1}$) citados por Ojuez et al. (2007).

387 Si se analiza el rendimiento total del cultivo de raigrás, en todo su ciclo, para
388 los tratamientos de U100 se aplicaron $141 \text{ kg de N}\cdot\text{ha}^{-1}$., obteniéndose una eficiencia
389 total de $15,83 \text{ kgMS}\cdot\text{kgN}^{-1}$ aplicados. Estos resultados coinciden con los obtenidos en
390 el sudeste bonaerense, donde la fertilización nitrogenada en invierno, con dosis entre

391 100 y 150 kgN.ha⁻¹., permitió obtener incrementos similares en la producción de
392 biomasa (Marino et al., 1995; Marino, 1996; Mazzanti et al., 1997).

393 La fertilización nitrogenada logró mayor eficiencia cuando se realizó a fines del
394 invierno- principio de primavera (corte III y corte IV). La siembra de raigrás y otros
395 verdeos comienza a partir del mes de febrero y se prolonga hasta fines de marzo,
396 período en que el laboreo y las condiciones de temperatura y humedad de los suelos
397 son favorables para los procesos de mineralización de la materia orgánica. Esto
398 asegura, de forma relativa, una alta disponibilidad de formas asimilables de nitrógeno
399 para el crecimiento en dicho período. Por consiguiente, es esperable que la
400 fertilización nitrogenada otoñal incremente el crecimiento de forraje en menor
401 proporción que una dosis similar aplicada a fines de invierno, período en el cual la
402 disponibilidad de formas asimilables de nitrógeno es extremadamente baja (Vázquez &
403 Barberis, 1982; Echeverría & Bergonzi, 1995).

404 En cuanto a la fertilización con sulfato de calcio (Ca(SO₄)₂.2H₂O) y sulfato de
405 magnesio (Mg(SO₄)₂.7H₂O), ninguna de las dosis aplicadas logró incrementos de
406 biomasa estadísticamente significativos, tanto parcial como acumulado. Estos
407 resultados coinciden con los obtenidos por (Mainero, 2016), en suelos de General
408 Belgrano y 25 de Mayo, provincia de Buenos Aires, donde ensayaron la aplicación de
409 diferentes dosis de corrector (entre 0 y 1600 kg de carbonato de calcio por hectárea)
410 combinada con distintas cantidades de urea y de sulfato de amonio, y cuyos
411 resultados no arrojaron valores estadísticamente significativos. Sin embargo, se
412 evidenció una tendencia al incremento de biomasa en el ensayo en General Belgrano.
413 En el partido de 25 de Mayo, Mainero observó que la fertilización con urea aumentó la
414 producción de materia seca para todos los tratamientos (tanto para CaCO₃ 0 y CaCO₃
415 1600), sin diferencias entre sí, aunque se observó una tendencia a disminuir el
416 rendimiento al aplicar fertilizantes básicos.

417 En el ensayo los rendimientos promedios de cada corte (Anexo Figura 1 y
418 Tabla 5), comparando los tratamientos U0C0 y U0C100, el resultado fue variable en el
419 rendimiento cuando la concentración de corrector fue mayor. Al comparar las parcelas
420 con los tratamientos U100C0 y U100C100, se observó una tendencia a disminución en
421 la producción de MS en 2 de los 3 cortes. Por lo tanto, cuando la dosis del fertilizante
422 nitrogenado fue 100 kg.ha⁻¹ se estableció una tendencia a la baja del rendimiento con
423 el agregado de los cationes básicos. En cambio, para los tratamientos con C50,
424 comparando U0C0 con U0C50 y U50C0 con U50C50, en los tres cortes no se
425 visualizó una tendencia clara, donde en algunos casos bajó la producción de biomasa
426 y en otros se incrementó, pudiéndose observar que al aplicar la dosis C50 de corrector
427 no se producirían incrementos en el rendimiento.

428

429 **Contenido de Ca y Mg en tejido vegetal**

430 Al analizar los resultados obtenidos en cuanto a la concentración foliar de Ca,
431 comparando cada tratamiento en cada uno de los cortes, se observó que no hubo
432 interacción entre los tratamientos urea*corrector ni diferencias significativas en el
433 contenido de este nutriente en tejido vegetal para los tratamientos por separado,
434 analizando la totalidad de los cortes parciales (Anexo Tablas 9, 10 y 11). Los
435 resultados fueron dispares incrementándose en algunos casos y siendo menores en
436 otros, comparando los tratamientos con y sin corrector ante el agregado de urea y sin
437 ella. Sin embargo, el suelo estudiado presentaba deficiencia relativa en estos
438 nutrientes (Anexo tabla 10). Muchas veces en producciones intensivas, aun existiendo
439 cantidades adecuadas de Ca y Mg en el suelo, puede ocurrir que el elevado ritmo de
440 la demanda por parte de los cultivos impida la reposición de estos nutrientes a la
441 solución del suelo a la velocidad con que son absorbidos debido a que en muchas
442 situaciones es necesaria su aplicación como nutriente y, de esa manera, evitar
443 severos daños en la producción (Vásquez & Pagani, 2015).

444 En cuanto a la fisiología de la planta, la misma pone en juego distintos
445 mecanismos para la absorción de Ca en situaciones de déficit para aprovisionarse y
446 desarrollar normalmente sus funciones. Gracias a los estudios de Emanuel Epstein (en
447 Azcón-Bieto & Talón, 2008) se logró identificar la existencia de mecanismos de
448 transporte de iones en la planta. Uno de ellos, que se denominó de tipo I, sería capaz
449 de extraer Ca^{+2} del suelo en concentraciones muy bajas. Se podría considerar que
450 dicho mecanismo pudo haber sido utilizado por el vegetal, explicando los resultados
451 obtenidos en el ensayo donde las diferentes concentraciones de Ca entre tratamientos
452 no provocaron una menor o mayor concentración de dicho nutriente en el tejido
453 vegetal, evitando sufrir deficiencias de dicho nutriente.

454 El corte IV se observó una tendencia en presentar menor concentración de Ca
455 en el tejido vegetal en la totalidad de los tratamientos (Anexo Figura 6). Según indican
456 Azcón-Bieto & Talón (2008) los síntomas de deficiencia son siempre más evidentes en
457 los tejidos jóvenes y en las zonas meristemáticas de raíces, tallos y hojas. Esto es
458 debido a que la división celular se ve afectada por la deficiencia de calcio siendo en
459 estos tejidos la división mitótica alta; por otro, la lámina media que se forma entre dos
460 células hijas, uno de cuyos principales componentes es el pectato cálcico, puede verse
461 alterada. Los cortes II y III se realizaron en estado fisiológico de macollaje, donde el
462 raigrás se encontraba en etapa de división celular activa, correspondiéndose con los
463 mayores requerimientos de Ca por la planta y, por tal motivo, la concentración del
464 mismo en estos estadios fue máxima. El corte IV se realizó en estado de maduración,
465 donde la planta ya se encontraba en encañazón, con todas sus estructuras vegetativas
466 y reproductivas ya formadas, por lo cual la actividad de división celular era muy baja, lo
467 que se correspondería con una demanda de Ca también menor, lo que pudo haber
468 repercutido en una menor concentración de Ca en los tejidos.

469 La concentración de Mg en los tejidos no tuvo diferencias significativas entre
470 los tratamientos para ninguno de los cortes (Anexo Tabla 12, 13 y 14). Se observó

471 que, ocasionalmente, mayores concentraciones de corrector produjeron menores
472 concentraciones de Mg en planta (Anexo Figura 7). Estos valores pueden asociarse a
473 la fisiología de absorción y translocación de Mg por la planta. La absorción de este
474 nutriente es por lo general más baja que el Ca^{+2} o K^+ . El bajo potencial de absorción
475 refleja la falta de un mecanismo especial que transporte el Mg^{+2} a través de la
476 membrana plasmática. El transporte es pasivo, donde el Mg^{+2} se moviliza a favor de
477 un gradiente electroquímico. En este transporte la competencia entre iones jugar un rol
478 principal y la absorción de Mg^{+2} puede ser seriamente afectada por un exceso de otras
479 especies catiónicas. Esta competencia podría provocar una deficiencia de este
480 nutriente en la planta. No solo la absorción sino también la translocación de Mg desde
481 las raíces a las partes superiores de las plantas puede restringirse por el K^+ y/o por el
482 Ca^{+2} (Schimanski 1981). Con lo dicho se podría observar que mayor cantidad de
483 kierserita coincide con una tendencia a mayor contenido de Mg. Pero la mayor
484 concentración de Ca en el perfil (por el agregado de yeso) puede interferir en la
485 absorción de Mg, mostrándose como una tendencia el menor contenido de este
486 nutriente a medida que se incrementa la dosis de corrector (yeso + kierserita).

487

488 **CONCLUSIONES**

489 - La fertilización con urea con la dosis de 100 kg ha⁻¹ permitió incrementar el
490 rendimiento de biomasa en raigrás anual, lo que permitiría inferir una mejora en la
491 disponibilidad de kgMS ha⁻¹, principalmente a fines del invierno, cuando la producción
492 de forraje se torna crítica para el sistema de producción.

493 - La aplicación de fertilizantes de naturaleza básica, en dosis equivalentes para
494 neutralizar el efecto acidificante de la fertilización nitrogenada con urea, no provocó
495 aumentos en el rendimiento de biomasa, para las condiciones estudiadas.

496 - La aplicación de fertilizantes básicos conjuntamente a fertilizantes nitrogenados
497 no logró incrementar la concentración de Ca^{+2} y Mg^{+2} en tejido vegetal para las
498 situaciones agro-edafo-climáticas donde se realizó el ensayo

499 - Es necesario seguir investigando sobre la temática utilizando distintas especies
500 vegetales, diferentes series de suelos, analizando previamente la disponibilidad de
501 diferentes nutrientes que puedan influir en los resultados. Con esto se podrán generar
502 estrategias de manejo complementarias que permitan sostener e incrementar la
503 producción y calidad de materia prima, a la vez que atenúen el impacto negativo de las
504 prácticas realizadas en los sistemas productivos actuales sobre el recurso suelo,
505 principal fuente de alimentos y fibras, tanto para nuestra generación como
506 generaciones futuras, contribuyendo así a la sustentabilidad de los agroecosistemas.

507

508

509
510

BIBLIOGRAFÍA

- 511 **Arrigo, N. M. & M. E. Conti.** 1985. Importancia de los mecanismos de intercepción
512 radical, flujo masal y difusión de Ca, Mg, K y P, en plantas de maíz en suelos
513 pampeanos. Revista de la Facultad de Agronomía 6, (3):183-188.
- 514 **Azcón-Bieto, J. & M. Talón.** 2008. Fundamentos de Fisiología Vegetal.
515 2da. Edición. UBe. McGraw-Hill. Interamericana de España. S.L. 669 pp.
- 516 **Baligar, V. C.; Kinraide, T. B.; Wright, R. J.; Bennet, O. L. & M. D. Smedkey.** 1987.
517 Aluminium effects of growth and P, Ca and Mg uptake efficiency in red clover
518 cultivars. J. Plant Nutr. 10 (0-16): 1131-1137.
- 519 **Blake, L., Goulding, K. W. T., Mott C. J. B. & A. E. Johnston.** 1999. Changes in soil
520 chemistry accompanying acidification over more than 100 years under wood
521 landygrass at Rothamsted Experimental Station, UK. En: European Journal of
522 Soil Science 50: 401–412.
- 523 **Burle, M. L, Mielniczuk, A. & S. Fecchi.** 1997. Effect of cropping systems on soil
524 chemical characteristics, with emphasis in soil acidification. En: Plant Soil 190:
525 309- 316.
- 526 **Campillo, R. & A. Sadzawka.** 2006. La acidificación de los suelos. Origen y
527 mecanismos involucrados. En R. Campillo (ed.) Manejo de los recursos
528 naturales en el sistema de incentivos para la recuperación de suelos
529 degradados de la Araucanía. Instituto de Investigaciones Agropecuarias,
530 Centro Regional de Investigación Carillanca, Temuco, Chile. Serie Actas N° 38:
531 44-60.
- 532 **Ciampitti, I., & F. O. García.** 2008. Requerimientos Nutricionales. Absorción y
533 extracción de macronutrientes y nutrientes secundarios. II. Hortalizas, frutales y
534 forrajeras. En: Informaciones Agronómicas 37. Buenos Aires. 22 pp.

535 **CNA.** 2004. Métodos De Análisis De Tejidos Vegetales. Angélica Sadzawka R.,
536 Renato Grez Z., María Adriana Carrasco R. y María de la Luz Mora G. Comisión
537 De Normalización Y Acreditación Sociedad Chilena De La Ciencia Del Suelo.
538 Disponible en: [http://www.cofes.org.ar/descargas/relas/4_jornada/](http://www.cofes.org.ar/descargas/relas/4_jornada/Manual_chilenos_tejido_vegetal.pdf)
539 [Manual_chilenos_tejido_vegetal.pdf](http://www.cofes.org.ar/descargas/relas/4_jornada/Manual_chilenos_tejido_vegetal.pdf). Último acceso: agosto de 2018.

540 **Echeverría, H. & R. Bergonzi.** 1995. Estimación de la mineralización de nitrógeno en
541 suelos del sudeste bonaerense. Boletín Técnico N° 135. Centro Regional
542 Buenos Aires Sur. INTA Balcarce. 15pp.

543 **Ferro, D., Millán, G., Merani, V., Machetti, N., Larrieu, L., Nughes, L. & M. Vázquez.**
544 2015. Efectos del agregado de dolomita y fertilizantes cálcico-magnésicos en el
545 rendimiento de Avena sativa L. en suelos ácidos de la región templada
546 argentina. En: Informaciones Agronómicas N° 19:22-25.

547 **Gambaudo, S., Picco, L., Soldano, P., & A. Cervetti.** 2007. Fertilización compuesta
548 con calcio, magnesio y azufre en soja. Resultados experiencias campaña
549 2006/07. INTA. EEA Rafaela Información Técnica Cultivos de Verano.
550 Publicación Miscelánea N° 108:185-189.

551 **InfoStat.** 2011. InfoStat. Software Estadístico. Versión Libre. [En línea] Available at:
552 <http://www.infostat.com.ar/index.php?mod=page&id=46>. Último acceso:
553 14/7/2018.

554 **Lanfranco J.W.** 1988. Carta de suelos de la Estación Experimental Central. Facultad
555 de Agronomía, UNLP. (Inédito).

556 **Mainero J.** 2016. Aplicación de dolomita aperdigonada en forma conjunta con urea y
557 sulfato de amonio como neutralizante de la acidificación generada por el
558 fertilizante utilizando como cultivo indicador raigrás anual (*Lolium multiflorum*
559 L). Trabajo final de carrera. Facultad de Ciencias Agrarias y Forestales.
560 Universidad Nacional de La Plata. Argentina. 50 pp.

- 561 **Marino, M.A.** 1996. Efecto de la fertilización nitrogenada sobre el crecimiento invierno
562 primaveral, la composición química y la calidad del forraje de Avena sativa y
563 Lolium multiflorum. Tesis M.Sc. Facultad de Ciencias Agrarias de Balcarce.
564 UNMdP. . Argentina. 104 pp.
- 565 **Marino, M.A., A. Mazzanti & H.E. Echeverría.** 1995. Fertilización nitrogenada de
566 cultivos forrajeros anuales de invierno en el sudeste bonaerense.1. Crecimiento
567 y acumulación de forraje. Actas 19º Congreso Argentino de Producción Animal.
568 pp. 179-182.
- 569 **Marino, M.A., Mazzanti, A., Assuero, S.G., Gastal, F., Echeverría H.E. & F.**
570 **Andrade.** 2004. Nitrogen dilution curves and nitrogen use efficiency during
571 winter-spring growth of annual ryegrass. Agronomy Journal 96: 601-607.
- 572 **Marschner, H.** 1995. Mineral nutrition of higher plants. 2nd Ed. Academic Press,
573 Londres. 889 pp.
- 574 **Martínez, F. & G. Cordone.** 2008. Fertilización en soja. Explorando la respuesta a
575 magnesio. INTA. EEA Oliveros. En: Revista Para Mejorar La Producción N ° 39.
- 576 **Mazzanti, A., Wade, M.H. & S.C García.** 1997. Efecto de la fertilización nitrogenada
577 sobre el crecimiento y la calidad del forraje de raigrás anual cv. Grasslands
578 Tama. Revista Argentina de Producción Animal 17: 25-32.
- 579 **Mengel K. & Kirkby E.A.** 2000. Principios de Nutrición Vegetal. Ed. Instituto
580 Internacional de la Potasa, Basilea Suiza. 4ta Ed. 1ra Ed. en español. 607 pp.
- 581 **Miravé, J., Tognetti, J., Aguirrezábal, L. & Assuero, S.,** 2015. Fundamentos de la
582 Nutrición Mineral en Plantas. En: H. Echeverría & F. García, edits. Fertilidad de
583 Suelos y Fertilización de Cultivos. Buenos Aires: INTA Ediciones, pp. 131-154.
- 584 **Ojuez, C.; Lauric, A.; Siolotto R. & L Ventimiglia.** 2007. Comportamiento de raigrás
585 bajo diferentes formas de fertilización en el centro de la provincia de Buenos
586 Aires. Boletín Técnico EEA INTA Bordenave. 6 pp.

587 **Rearte D.** 2010. Situación actual y perspectivas de la producción de carne vacuna.
588 INTA. Programa Nacional de Carnes. Disponible en:
589 <http://ipafcv.files.wordpress.com/2011/07/rearte-20102.pdf>. Último acceso,
590 15/03/16. 26 pp.

591 **Revilla G. & E. Zarra.** 2008. Fisiología vegetal. Introducción a las células de las
592 plantas: membrana y pared. En: Fundamentos de fisiología vegetal. Azcon –
593 Bieto J & M Talón (eds) Ed.UBe. España. Cap.1:3-22 pp.

594 **SAMLA.** 2004. Sistema de Apoyo Metodológico de Laboratorios de Análisis de Suelos
595 y Aguas. Secretaría de Agricultura, Ganadería y Pesca - Asociación Argentina
596 de la Ciencia del Suelo. 2004. 120 pp.

597 **Schimansky, C.** 1981. Der Einfluss einiger Versuchsparmeter auf das Fuxverhalten
598 von Mg bei Getstcnkcimpflanzen in Hydrokulturversuchen. Landwirtschaftlichen
599 Forschung 34:154-167.

600 **Tang C.** 1998. Factors affecting soil acidification under legumes I. Effect of potassium
601 supply. Plant and Soil 199 (2): 275- 282.

602 **Vázquez, M.E. & Barberis, L.A.** 1982. Variación estacional de la concentración de
603 nitratos en el suelo. Revista de Investigaciones Agropecuarias. INTA. Vol. XVII.
604 1: 13-22.

605 **Vázquez M.** 2005. Acidez Natural y Adquirida de los Suelos. Su Diagnóstico y
606 Tratamiento. Revista Acaecer 346: 6-12.

607 **Vázquez, M.; Terminiello, A.; Casciani, A.; Millán, G.; Gelati, P.; Guillino, F.; García**
608 **Díaz, J.; Kostiria, J. & García, M.** 2010. Influencia del agregado de enmiendas
609 básicas sobre la producción de alfalfa (*Medicago sativa L.*) en ámbitos
610 templados argentinos. Ciencia del Suelo 28 (2): 141-154 p.

611 **Vázquez, M.,Terminiello, A., Casciani, A., Millán, G., Cánova, D., Gelati, P.,**
612 **Guilino,F., Dorrnzoro, A., Nicora, Z., Lamarche, L & M. García.** 2012.
613 Respuesta de la soja (*glicine max l.merr*) a enmiendas básicas en algunos

614 suelos de las provincias de Buenos Aires y Santa Fe. Ciencia del Suelo 30.1:
615 43-55 p.

616 **Vázquez M. & A. Pagani.** 2015. Calcio y Magnesio. Manejo de fertilización y
617 enmiendas. En: Fertilidad de Suelos y Fertilización de Cultivos. Echeverría H. &
618 F. García. Ediciones INTA. Argentina. 904 p.

619 **Vázquez M. & G. Millán.** 2017. Acidez del suelo. Origen, diagnóstico, consecuencias y
620 tratamientos. En Manejo y Conservación de Suelos con especial énfasis en
621 situaciones argentinas. Ed: Mabel Vázquez, Buenos Aires, pp: 229-273.

622 **Wilkinson, R. E. & R. R. Duncan.** 1993. Calcium ($^{45}\text{Ca}^{2+}$) absorption inhibition by
623 aluminum (Al^{+3}) in sorghum roots. Journal of Plant Nutrition. Vol.16: 235-240.

624 **Wilkinson, R. E. & R. R. Duncan.** 1994. Malachite green influence on Calcium
625 ($^{45}\text{Ca}^{2+}$) absorption by sorghum root tips. Journal of Plant Nutrition. Vol. 17
626 (263): 427-431.

627 **YPF SA.** 2015. Productos y servicios. Disponible en:
628 <http://www.ypf.com/ProductosServicios/Documents/UREA>. Último acceso: julio
629 de 2018.

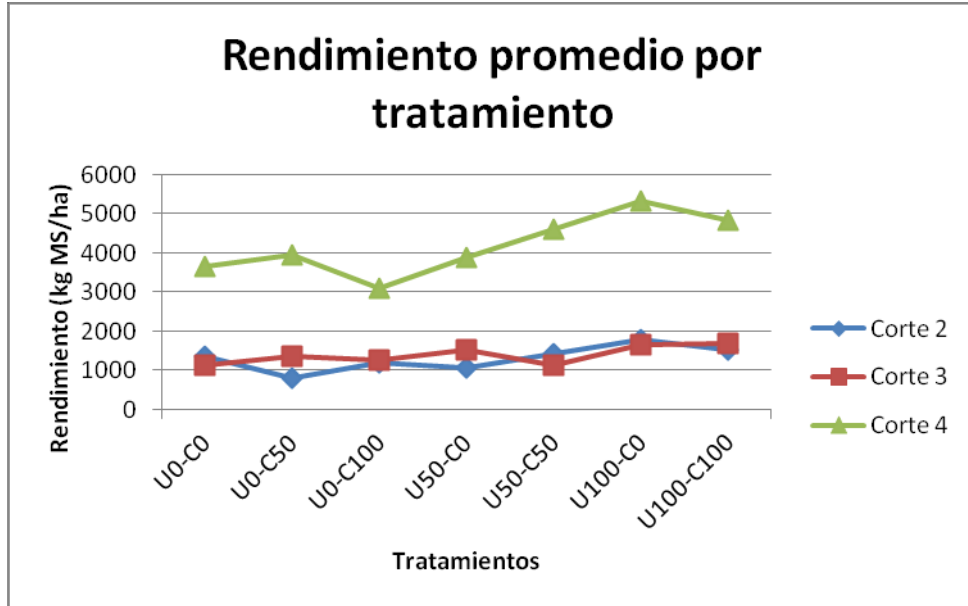
630 **Zhang, X. & Zhao, A.,** 1997. Surface charge. En: T. Yu, ed. Chemistry of Variable
631 Charge Soils. New York: Oxford University Press Inc, pp. 17-63.

632

633

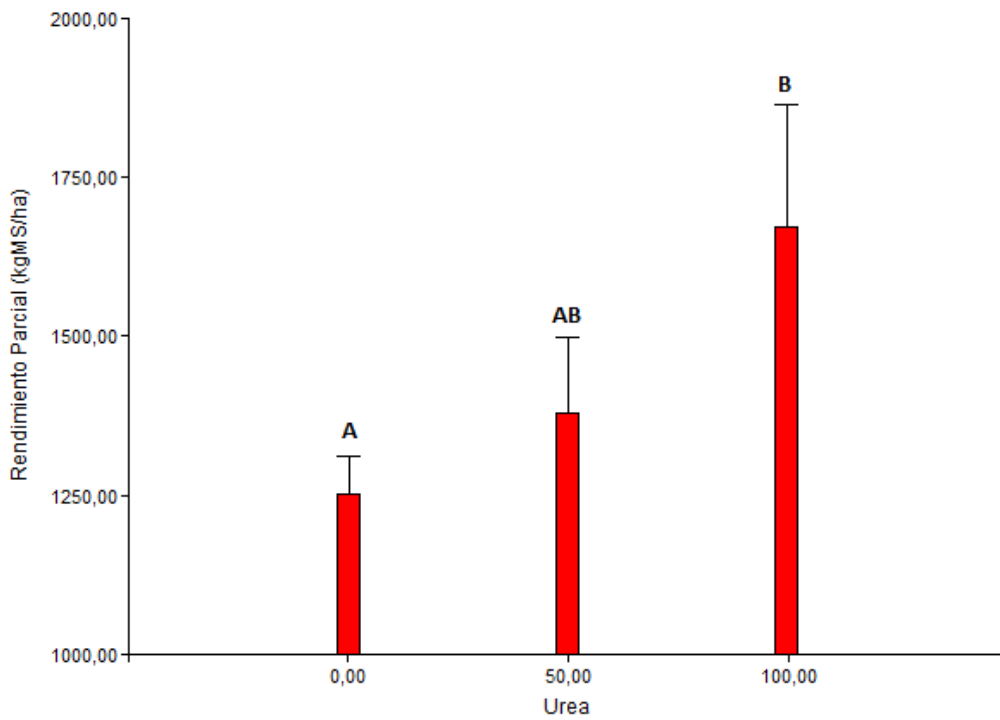
634
635
636

ANEXO
Figuras



637
638
639
640

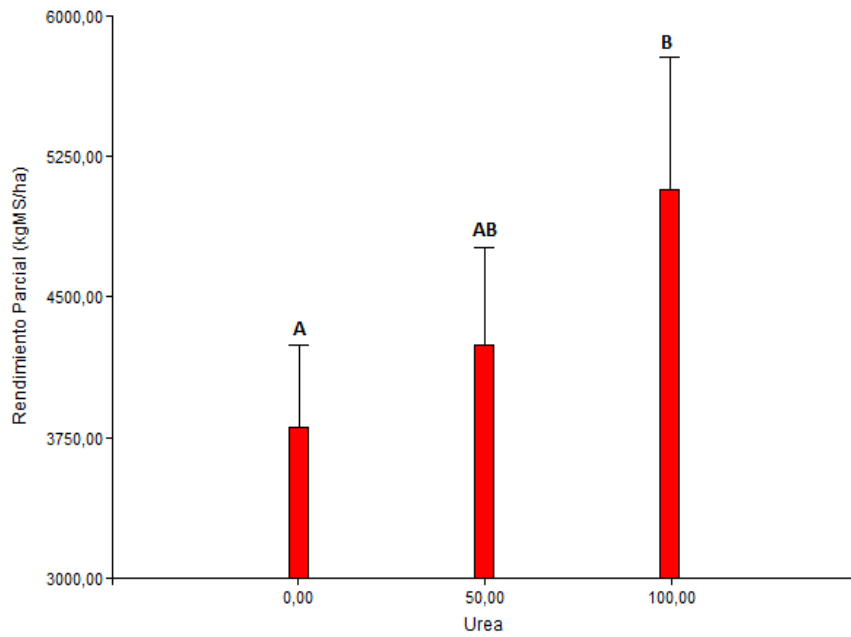
Figura 1: Rendimiento promedio de Raigrás (kgMS.ha⁻¹) de los diferentes tratamientos en cada fecha de corte. **U:** urea. **C:** Fertilizante cálcico magnésico (corrector)



641
642
643
644

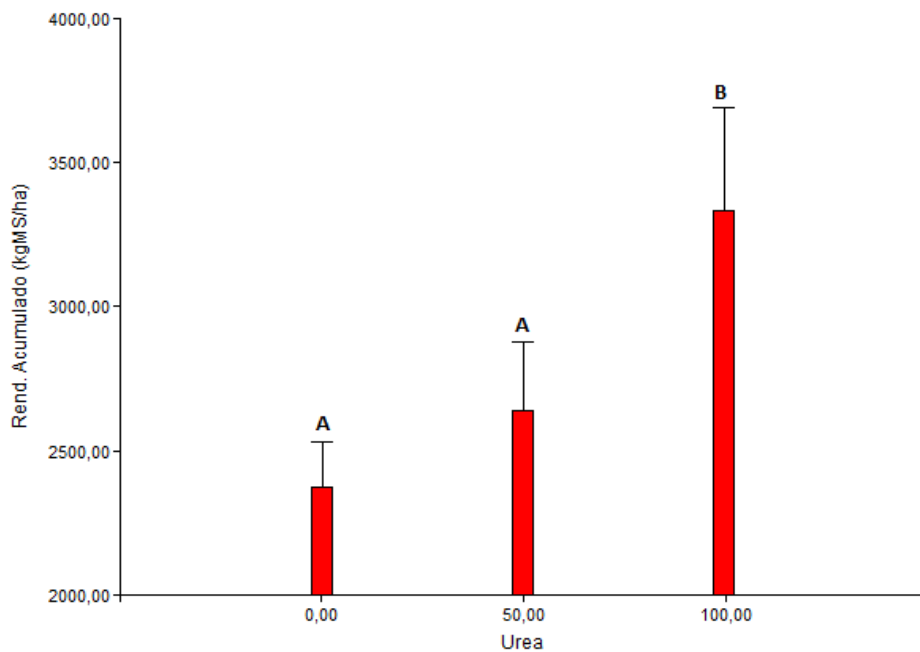
Figura 2: Producción de Materia Seca, expresado en kgMS ha⁻¹, versus los tratamientos con urea para el corte III (rendimiento parcial). Letras diferentes indican diferencias estadísticas significativas ($p > 0,05$)

645



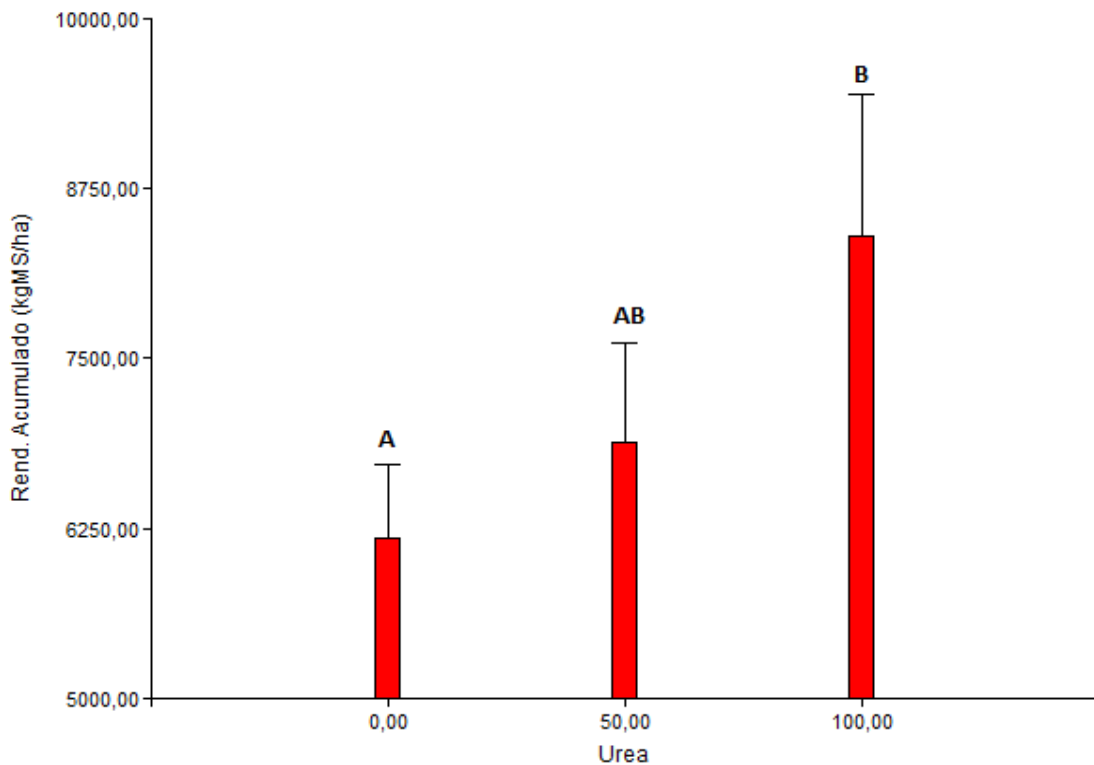
646

647 **Figura 3:** Producción de Materia Seca, expresado en kgMS ha⁻¹, versus los tratamientos con
648 urea para el corte IV (rendimiento parcial). Letras diferentes indican diferencias estadísticas
649 significativas ($p > 0,05$)
650



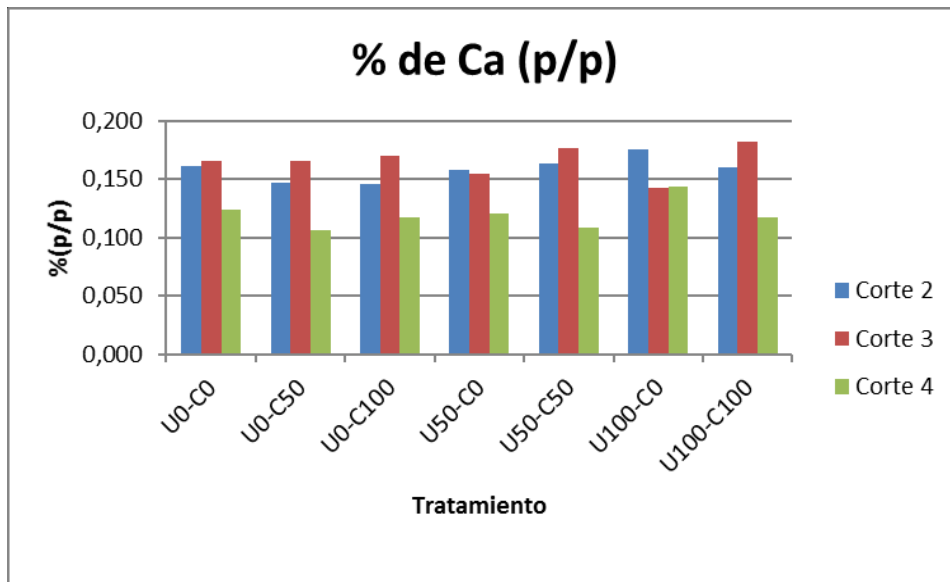
651

652 **Figura N° 4:** Producción de Materia Seca acumulada, expresado en kgMS ha⁻¹, versus los
653 tratamientos con urea para el corte III (corte parcial II + corte parcial III). Letras diferentes
654 indican diferencias estadísticas significativas ($p > 0,05$)
655



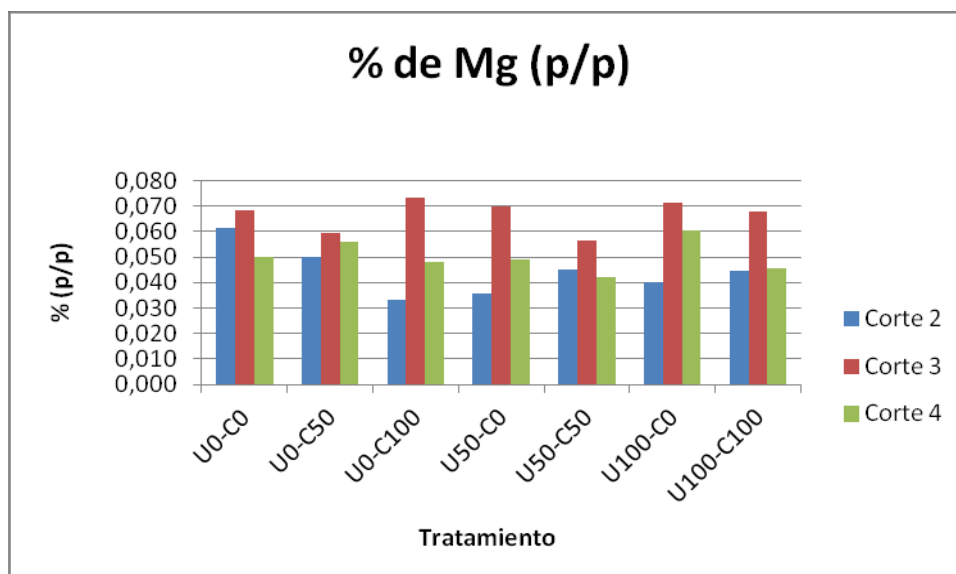
656
657
658
659
660

Figura 5: Producción de Materia Seca acumulada, expresado en kgMS ha⁻¹, versus los tratamientos con urea para el corte IV (corte parcial II + corte parcial III + corte parcial IV). Letras diferentes indican diferencias estadísticas significativas ($p > 0,05$)



661
662
663
664
665

Figura 6: Contenido promedio de Ca en tejido vegetal (% p/p de Ca) de los diferentes tratamientos y cortes. U: urea. C: fertilizante cálcico magnésico (corrector). % (p/p): porcentaje peso en peso.



666

667 **Figura 7:** Contenido promedio de Mg en tejido vegetal (% de Mg (p/p)) de los diferentes
 668 tratamientos, para cada uno de los cortes **U:** urea. **C:** Fertilizante cálcico magnésico (corrector)

669

670

671

672 **Tablas**

673 **Tabla 1.** Tratamientos y dosis aplicadas en cada parcela.

Tratamiento	Dosis de Urea		Dosis de $(Ca(SO_4)_2 \cdot 2H_2O)$		Dosis de $Mg(SO_4)_2 \cdot 7H_2O)$	
	(Kg.ha ⁻¹)	(g/parcela)	(Kg.ha ⁻¹)	(g/parcela)	(kg.ha ⁻¹)	(g/parcela)
U0C0	0	0	0	0	0	0
U50C0	50	10	0	0	0	0
U100C0	100	20	0	0	0	0
U0C50	0	0	122,8	24,5	29,3	5,8
U0C100	0	0	245,7	49,00	58,5	11,7
U50C50	50	10	122,8	24,5	29,3	5,8
U100C100	100	20	245,7	49,00	58,5	11,7

674

C: fertilizante cálcico magnésico (corrector)

675

U: urea

676

677 **Tabla 2:** Cantidad de bases a aplicar por tratamiento.

Tratamiento	Equivalentes de acidez generados (H ⁺) (eq.ha ⁻¹)	Equivalentes de Ca necesarios (eq.ha ⁻¹)	Equivalentes de Mg necesarios (eq.ha ⁻¹)
U50	1666,6	1428,5	238,0
U100	3333,3	2857,1	476,1

678

679

680 Tabla 3. Resultados de análisis de suelo determinados sobre el sitio
 681 experimental

Determinación		Profundidad (cm)	
		0-20	20-40
pH actual (1:2,5)		5,59	5,55
CO	%	2,24	1,53
MO	%	3,86	2,63
Nt	%	0,224	0,160
C/N		10	9,6
CIC (T)	cmolc.kg ⁻¹	19,53	15,60
Ca int		9,10	11,10
Mg int		2,2	2,9
Na int		0,55	0,55
K int		1,28	1,11
Sat Bases (S/T)		%	67
Ca/CIC	%	68	70
Mg/CIC	%	16	18

682

683 **Tabla 4:** Análisis de la varianza corte II, rendimiento parcial

F.V.	SC	gl	CM	F	p-valor
684 Modelo.	3901347,83	7	557335,40	4,71	0,0079
686 Urea	868288,92	2	434144,46	3,67	0,0546
687 Corrector	31352,76	1	31352,76	0,26	0,6155
688 Bloque	2271777,04	2	1135888,52	9,59	0,0028
689 Urea*Corrector	489038,09	2	244519,04	2,06	0,1664
690 Error	1539457,32	13	118419,79		
691 Total	5440805,15	20			

692

693 **Tabla 5 :** Análisis de la varianza corte III, rendimiento parcial

F.V.	SC	gl	CM	F	p-valor
694 Modelo.	1418513,38	7	202644,77	2,66	0,0606
696 Urea	690759,02	2	345379,51	4,54	0,0320
697 Corrector	12044,71	1	12044,71	0,16	0,6973
698 Bloque	580049,03	2	290024,52	3,81	0,0499
699 Urea*Corrector	190653,54	2	95326,77	1,25	0,3182
700 Error	989668,93	13	76128,38		
701 Total	2408182,31	20			

702

703 **Tabla N° 6:** Análisis de la Varianza corte IV, rendimiento parcial

F.V.	SC	gl	CM	F	p-valor
704 Modelo.	32298105,90	7	4614015,13	5,70	0,0035
706 Urea	5858650,32	2	2929325,16	3,62	0,0462
707 Corrector	92910,03	1	92910,03	0,11	0,7401
708 Bloque	25297960,12	2	12648980,06	15,64	0,0003
709 Urea*Corrector	1070677,12	2	535338,56	0,66	0,5324
710 Error	10515224,32	13	808863,41		
711 Total	42813330,22	20			

712 **Tabla N° 7:** Análisis de la Varianza corte III, rendimiento acumulado (corte II + corte III)

F.V.	SC	gl	CM	F	p-valor
------	----	----	----	---	---------

713

714	Modelo.	8695757,46	7	1242251,07	7,75	0,0008
715	Urea	3077145,46	2	1538572,73	9,60	0,0027
716	Corrector	82227,82	1	82227,82	0,51	0,4864
717	Bloque	5129097,76	2	2564548,88	16,01	0,0003
718	Urea*Corrector	80663,29	2	40331,64	0,25	0,7811
719	Error	2082547,92	13	160195,99		
720	Total	10778305,37	20			
721						

722 **Tabla N° 8: Análisis de la Varianza corte IV, rendimiento acumulado (corte II + corte III**
723 **+ corte IV)**

724	F.V.	SC	gl	CM	F	p-valor
725	Modelo.	72552883,49	7	10364697,64	8,77	0,0005
726	Urea	17360282,01	2	8680141,00	7,35	0,0073
727	Corrector	328,75	1	328,75	2,8E-04	0,9869
728	Bloque	52803575,82	2	26401787,91	22,34	0,0001
729	Urea*Corrector	1666046,34	2	833023,17	0,70	0,5121
730	Error	15361316,98	13	1181639,77		
731	Total	87914200,47	20			
732						

733 **Tabla N° 9: ANOVA para el contenido de Ca en tejido vegetal en el corte II**

734	F.V.	SC	gl	CM	F	p-valor
735	Modelo.	3,3E-03	7	4,7E-04	1,13	0,4027
736	Urea	7,0E-04	2	3,5E-04	0,85	0,4516
737	Corrector	3,5E-04	1	3,5E-04	0,83	0,3787
738	Bloque	1,4E-03	2	6,9E-04	1,67	0,2270
739	Urea*Corrector	4,4E-04	2	2,2E-04	0,53	0,5995
740	Error	0,01	13	4,2E-04		
741	Total	0,01	20			
742						

743 **Tabla N° 10: ANOVA para el contenido de Ca en tejido vegetal en el corte III**

744	F.V.	SC	gl	CM	F	p-valor
745	Modelo.	3,9E-03	7	5,6E-04	0,88	0,5504
746	Urea	7,7E-05	2	3,8E-05	0,06	0,9425
747	Corrector	2,2E-03	1	2,2E-03	3,35	0,0904
748	Bloque	7,9E-04	2	3,9E-04	0,61	0,5564
749	Urea*Corrector	1,3E-03	2	6,3E-04	0,98	0,4008
750	Error	0,01	13	6,4E-04		
751	Total	0,01	20			
752						

753 **Tabla N° 11: ANOVA para el contenido de Ca en tejido vegetal en corte IV**

754	F.V.	SC	gl	CM	F	p-valor
755	Modelo.	5,0E-03	7	7,1E-04	0,95	0,5026
756	Urea	7,8E-04	2	3,9E-04	0,52	0,6038
757	Corrector	1,4E-03	1	1,4E-03	1,92	0,1887
758	Bloque	2,5E-03	2	1,2E-03	1,66	0,2278
759	Urea*Corrector	2,0E-04	2	1,0E-04	0,14	0,8749
760	Error	0,01	13	7,5E-04		
761	Total	0,01	20			
762						

763 **Tabla N° 12: Contenido de Mg (%p/p) en tejido vegetal para el corte II**

764	F.V.	SC	gl	CM	F	p-valor
765						

766	Modelo.	1,7E-03	7	2,4E-04	1,67	0,2022
767	Urea	5,2E-04	2	2,6E-04	1,82	0,2011
768	Corrector	1,8E-05	1	1,8E-05	0,12	0,7321
769	Bloque	4,7E-04	2	2,3E-04	1,64	0,2318
770	Urea*Corrector	8,7E-04	2	4,3E-04	3,04	0,0827
771	Error	1,9E-03	13	1,4E-04		
772	Total	3,5E-03	20			

774 **Tabla N° 13:** Contenido de Mg (%p/p) en tejido vegetal para el corte III

775	F.V.	SC	gl	CM	F	p-valor
776	Modelo.	6,5E-04	7	9,3E-05	0,34	0,9213
777	Urea	1,3E-04	2	6,6E-05	0,24	0,7889
778	Corrector	1,8E-04	1	1,8E-04	0,67	0,4282
779	Bloque	2,3E-04	2	1,2E-04	0,43	0,6621
780	Urea*Corrector	1,3E-04	2	6,3E-05	0,23	0,7982
781	Error	3,6E-03	13	2,7E-04		
782	Total	4,2E-03	20			

784 **Tabla N° 14:** Contenido de Mg (%p/p) en tejido vegetal para el corte IV

785	F.V.	SC	gl	CM	F	p-valor
786	Modelo.	7,0E-04	7	1,0E-04	0,37	0,9036
787	Urea	1,7E-04	2	8,7E-05	0,32	0,7309
788	Corrector	2,1E-04	1	2,1E-04	0,77	0,3966
789	Bloque	1,2E-04	2	6,2E-05	0,23	0,7971
790	Urea*Corrector	2,4E-04	2	1,2E-04	0,44	0,6555
791	Error	3,5E-03	13	2,7E-04		
792	Total	4,2E-03	20			

793

794 **Tabla N° 15:** Provisión de Ca⁺² y Mg⁺² intercambiables (Vázquez & Pagani, 2015)

Denominación	Ca ⁺² intercambiable (cmolc.kg ⁻¹)	Mg ⁺² intercambiable (cmolc.kg ⁻¹)
<i>Muy alto</i>	>20	>8
<i>Alto</i>	20-10	8-3
<i>Medio</i>	10-5	3-1
<i>Bajo</i>	5-2	1-0,3
<i>Muy bajo</i>	<2	<0,3

795

796 **Tabla N° 16:** Valores relativos de Ca⁺² y Mg⁺² en relación a la CIC. Extraído de
797 Vázquez & Pagani (2015).

Nutriente	% de la CIC
Ca ⁺²	60-80
Mg ⁺²	10-20

798